

1
Elio

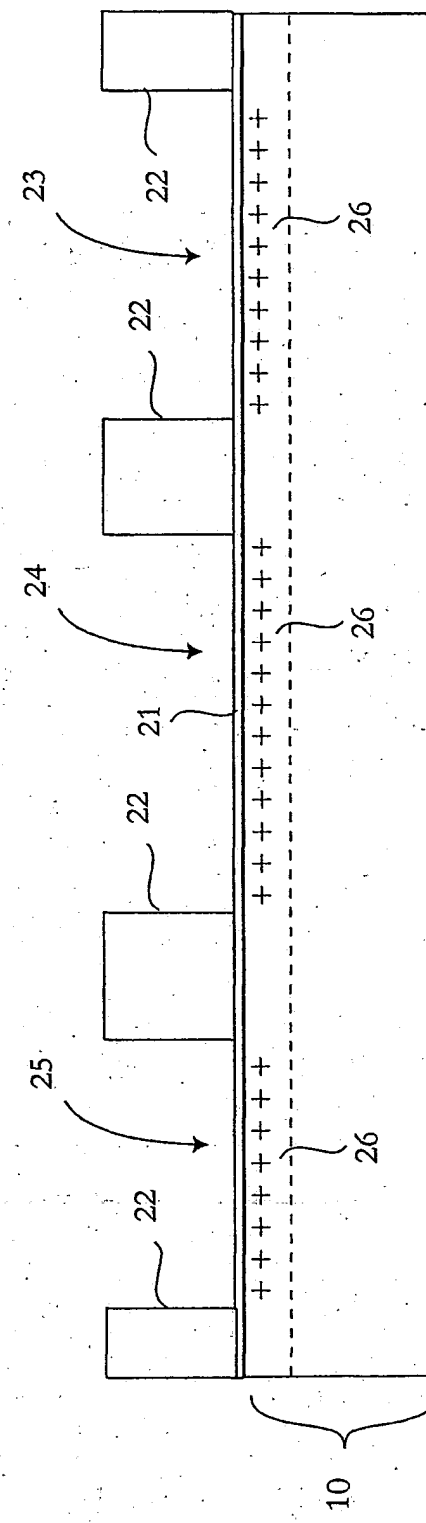


Fig. 2.

2/19

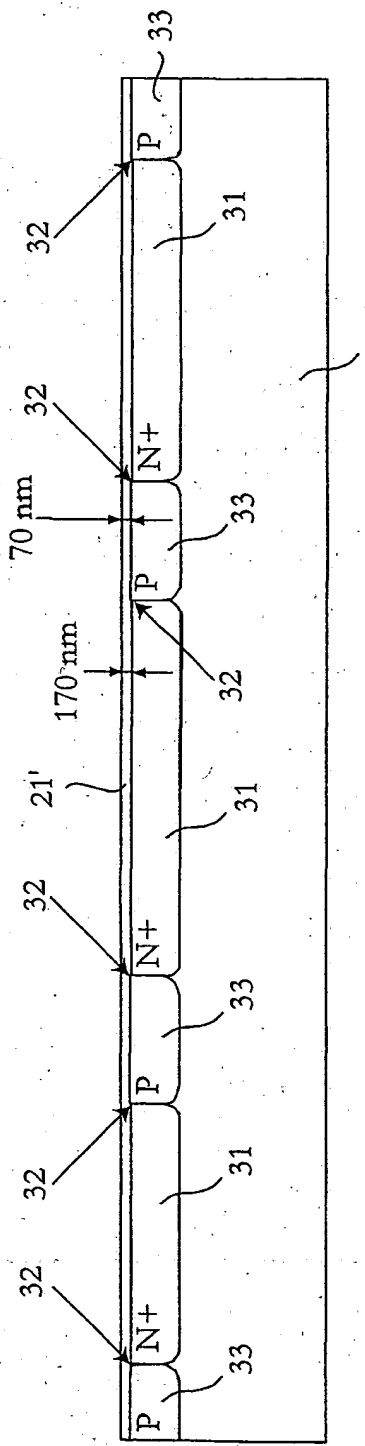


Fig. 3

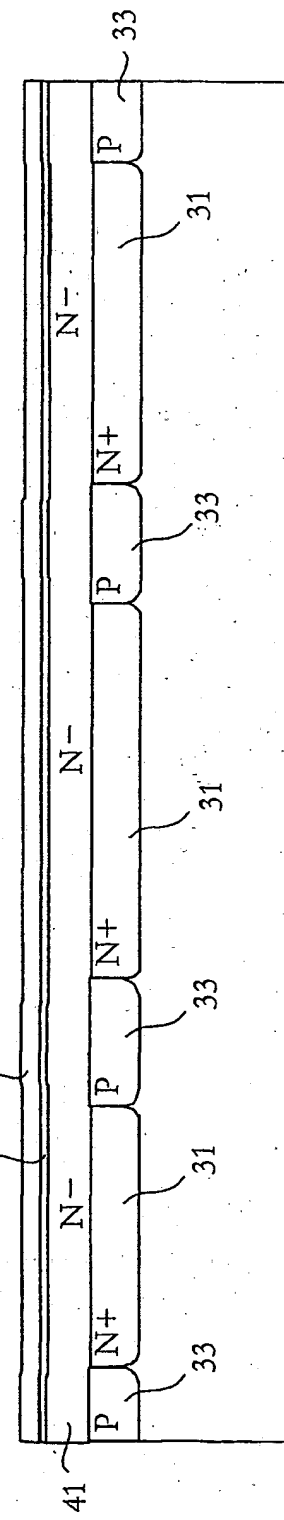


Fig. 4a

3/19

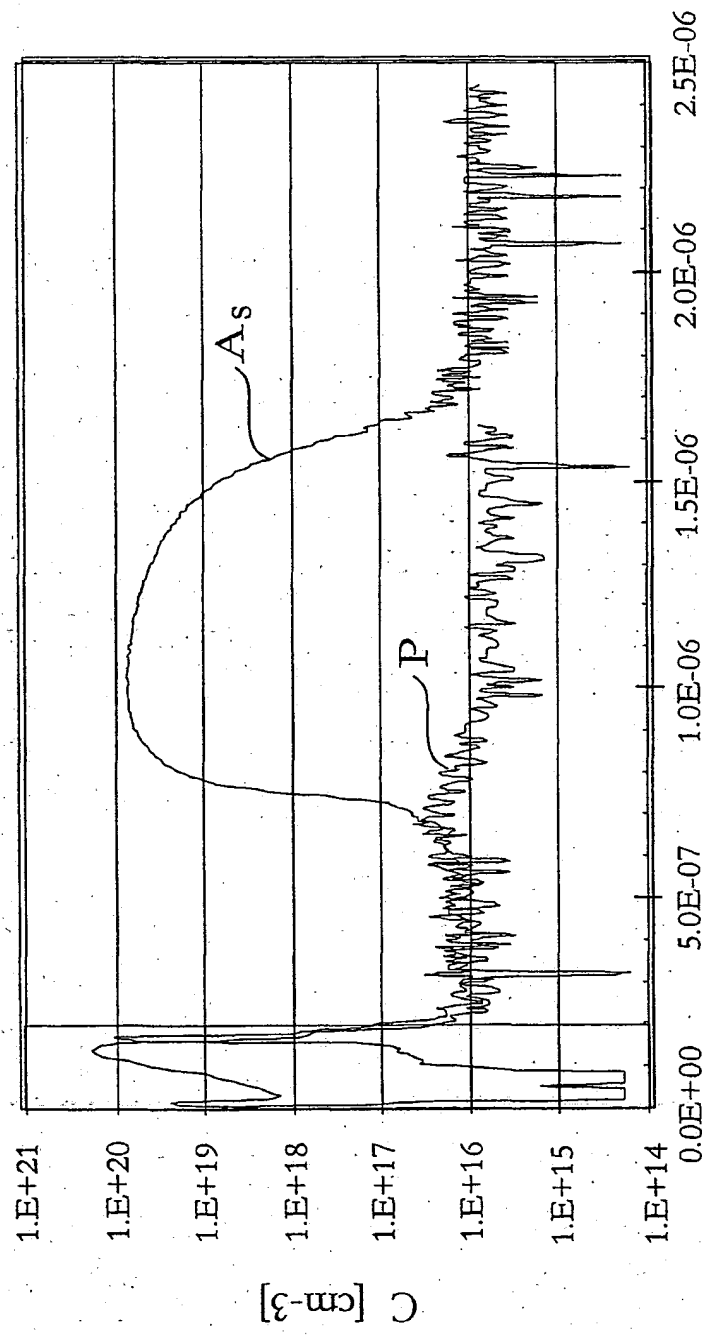


Fig. 4b

4/19

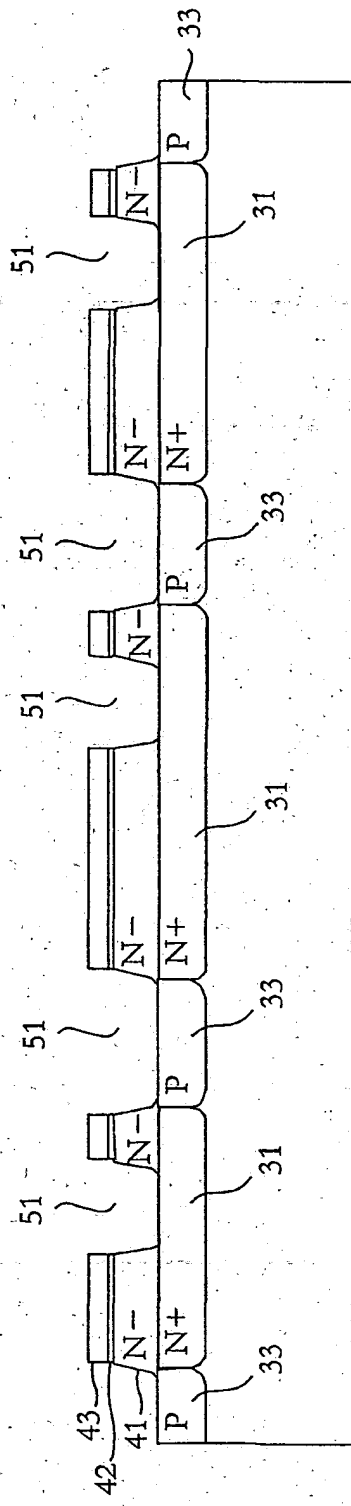


Fig. 5a

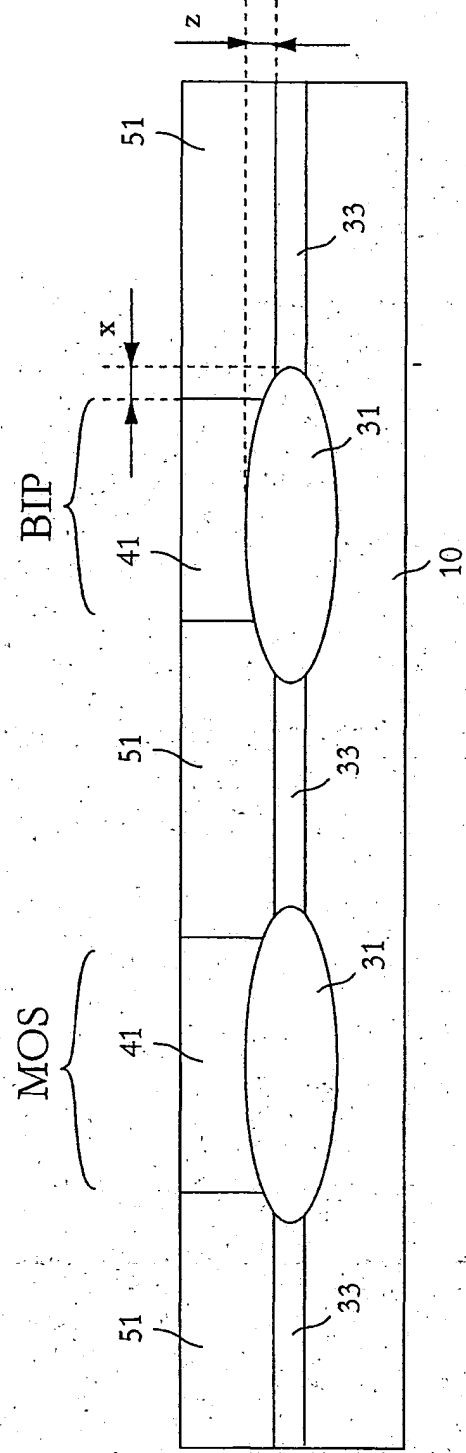


Fig. 5b

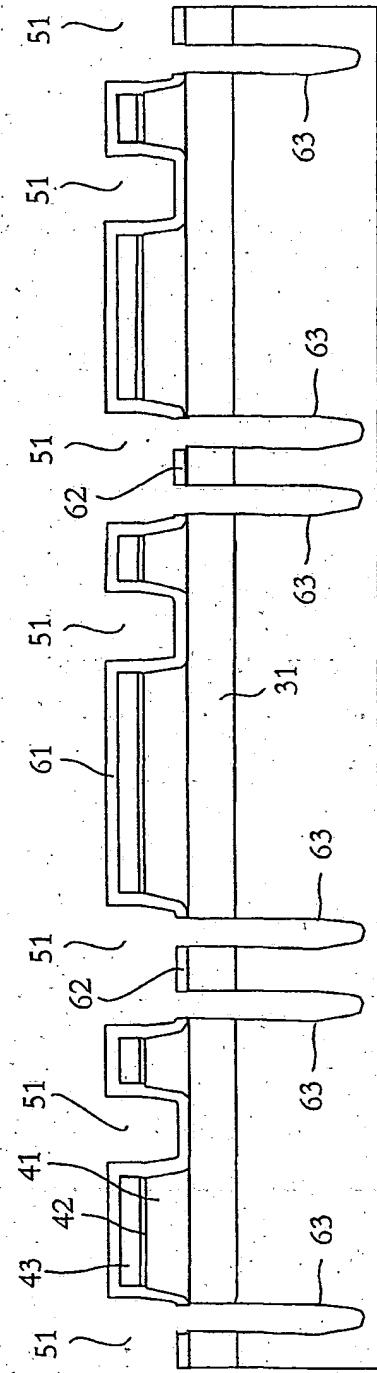


Fig. 6

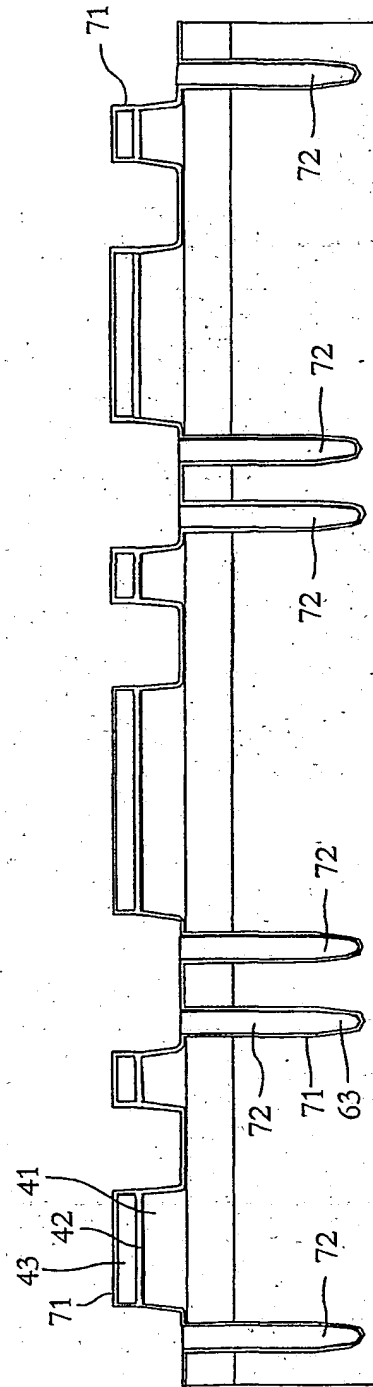


Fig. 7

6/19

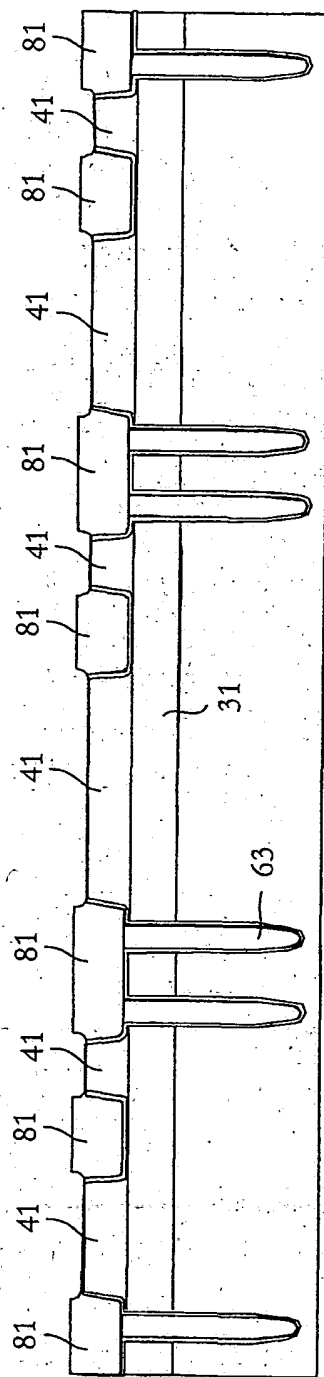


Fig. 8

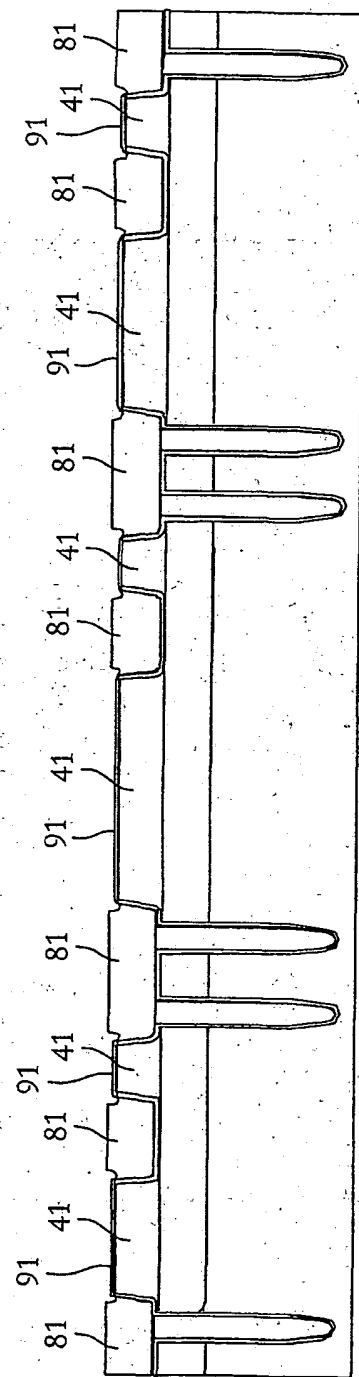


Fig. 9

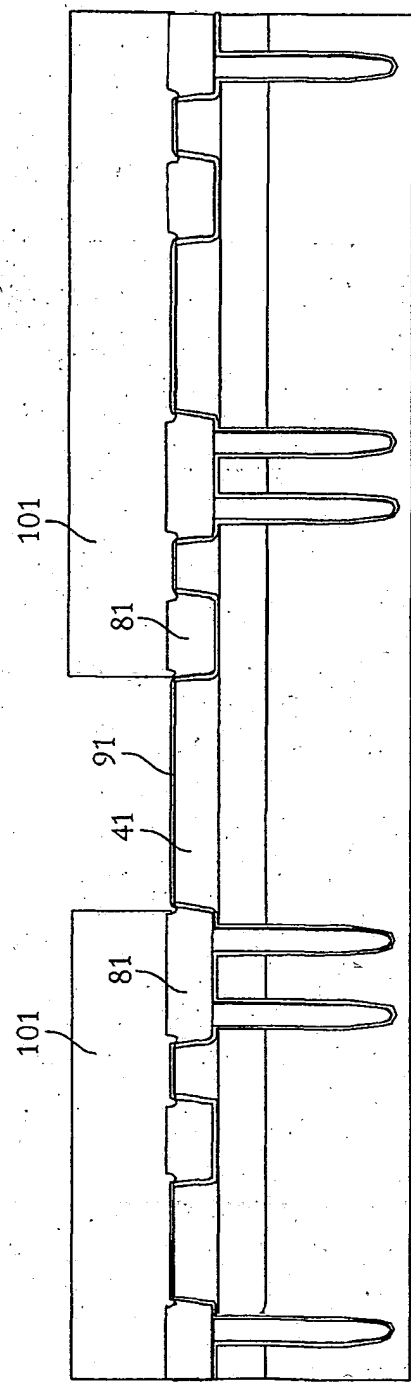


Fig. 10

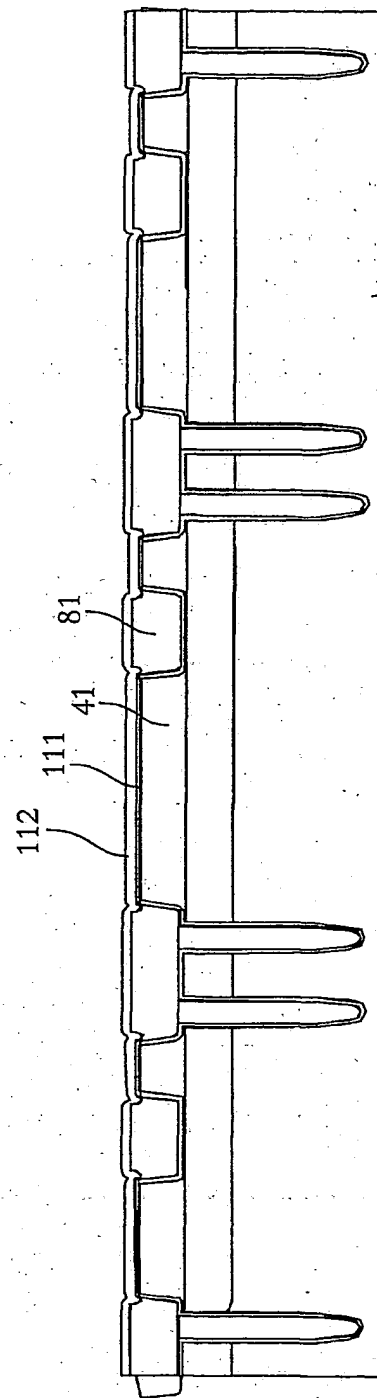


Fig. 11

8/19

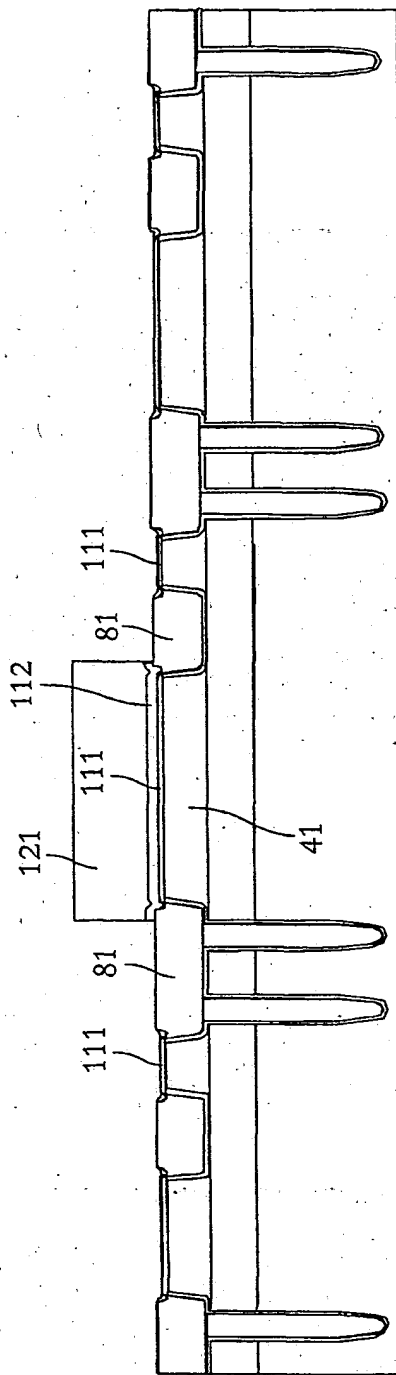


Fig. 12

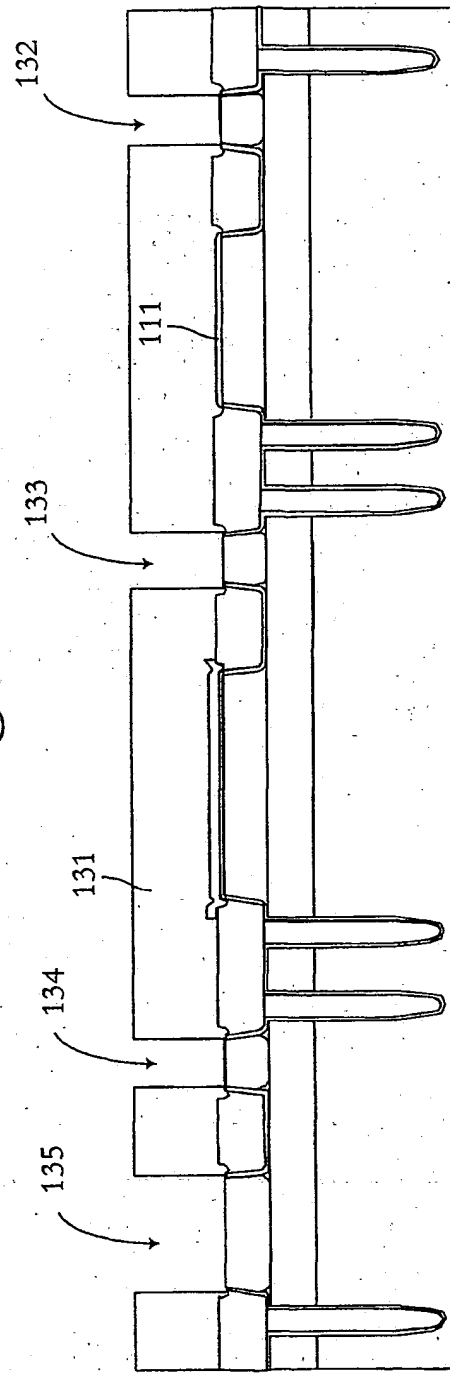


Fig. 13

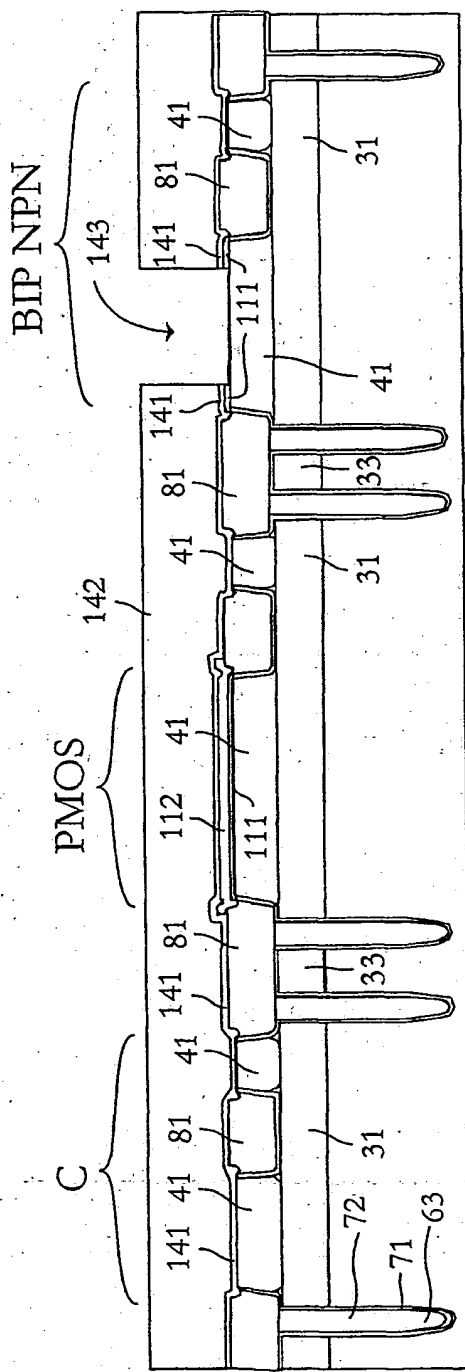


Fig. 14

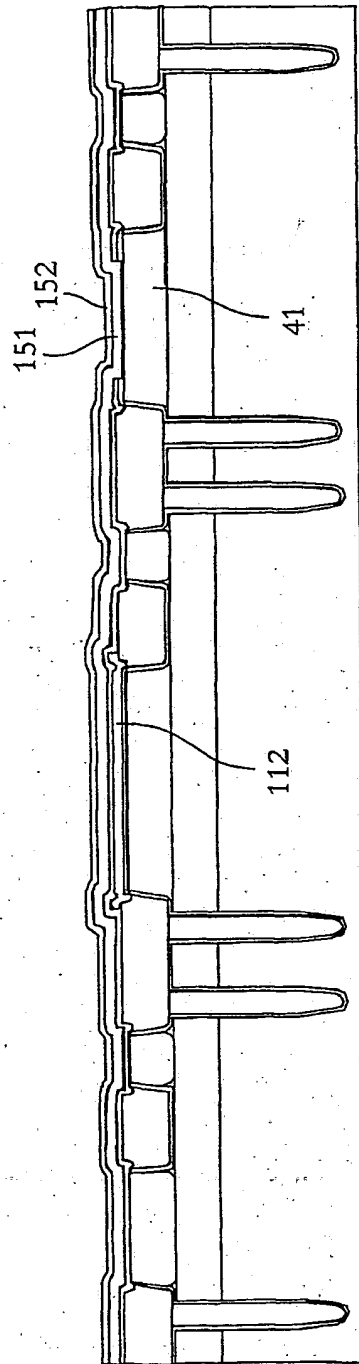


Fig. 15

10/19

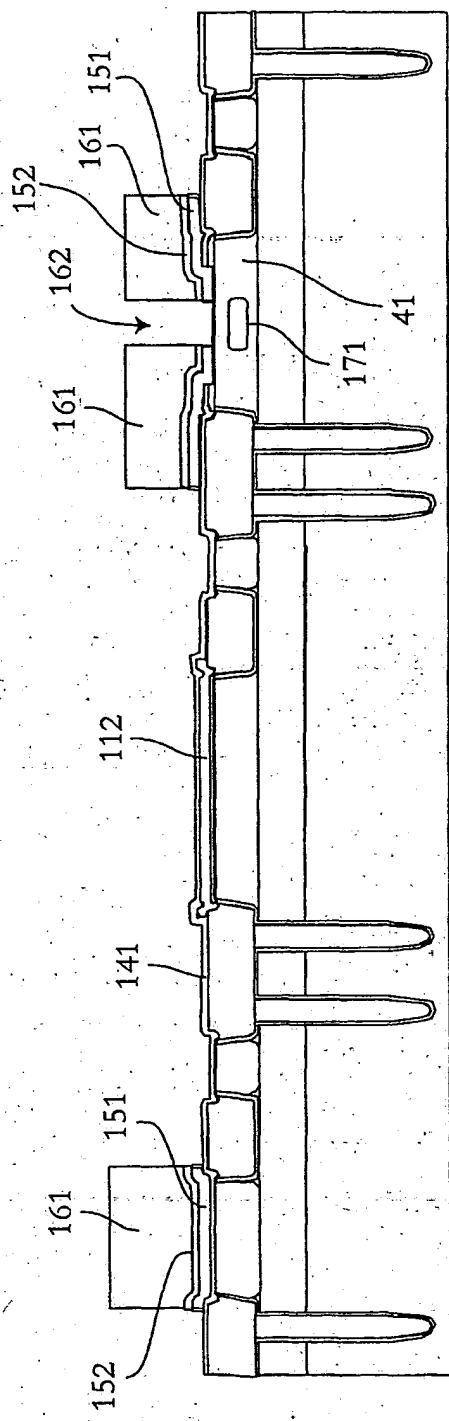


Fig. 16

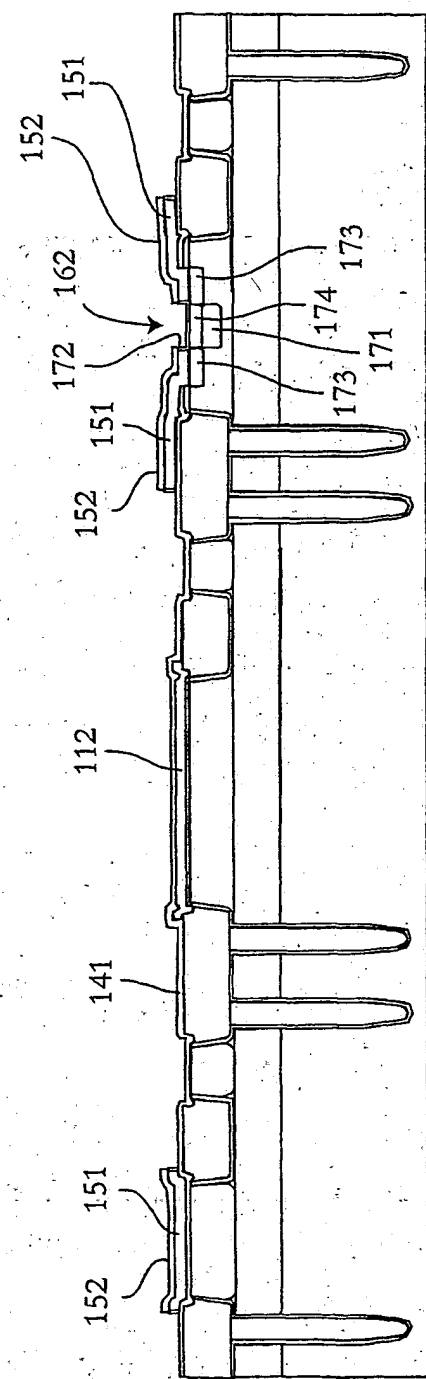


Fig. 17

11/19

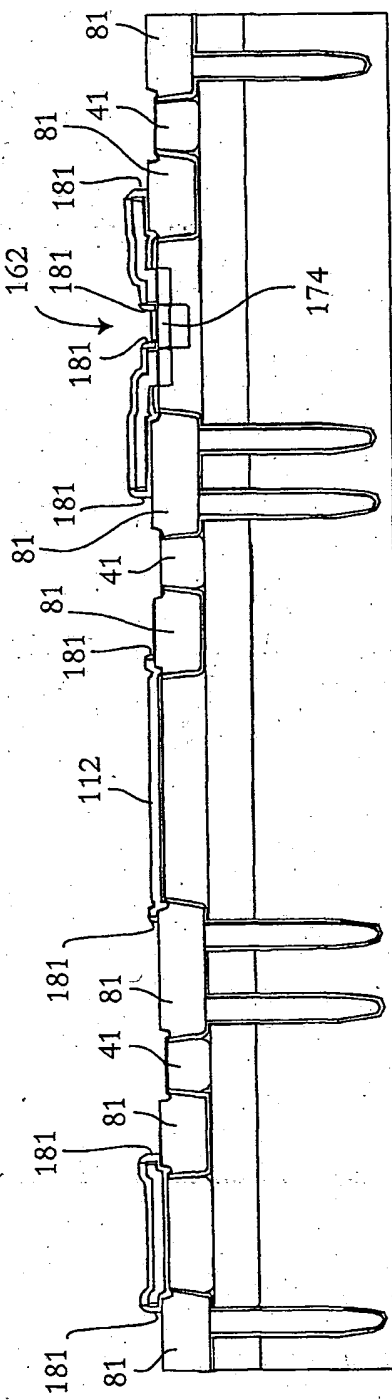


Fig. 18a

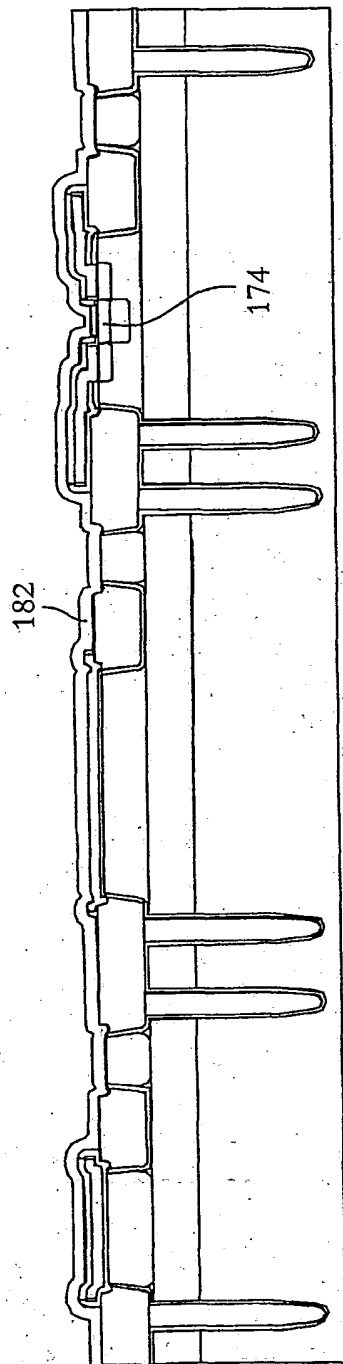


Fig. 18b

12/19

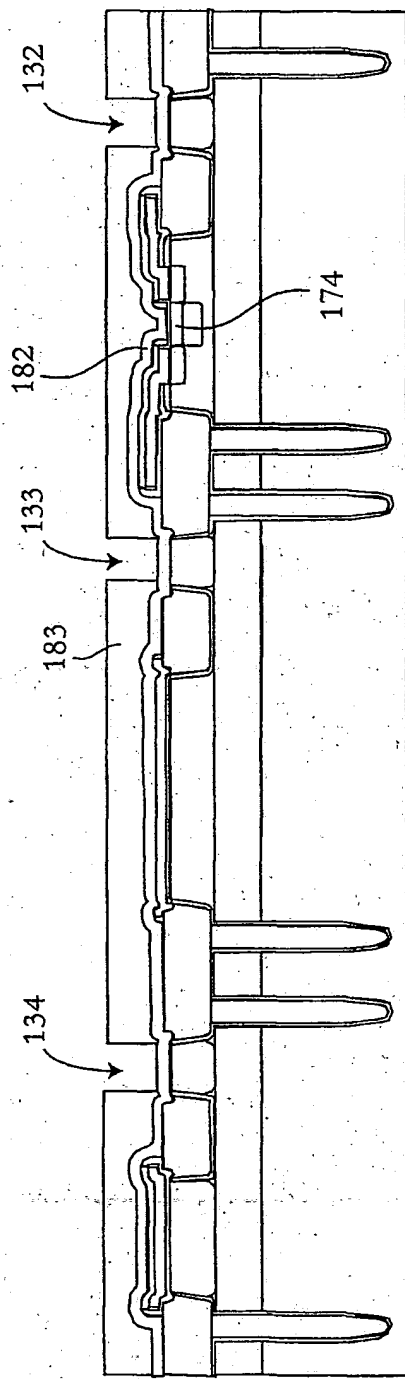


Fig. 18c

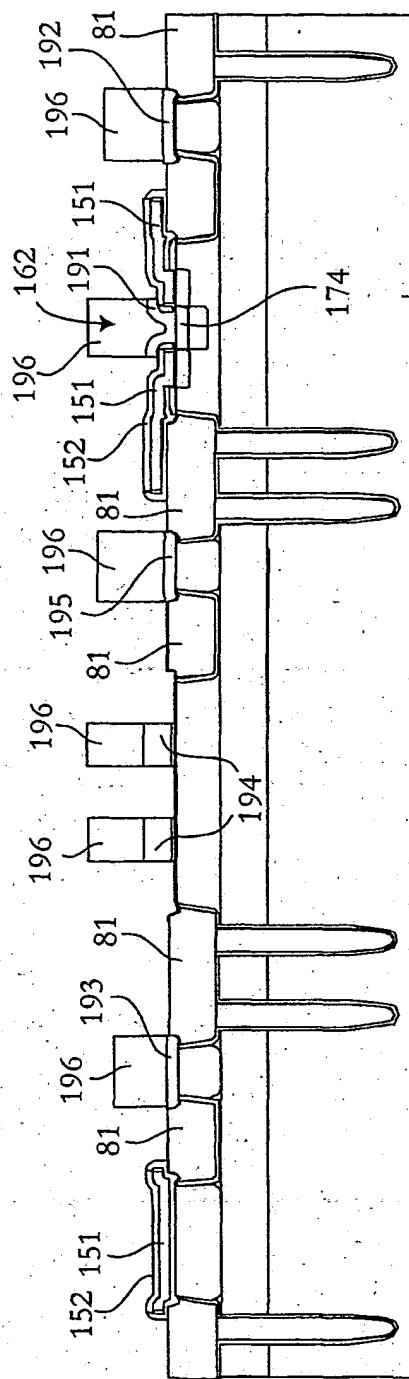


Fig. 19a

13/19

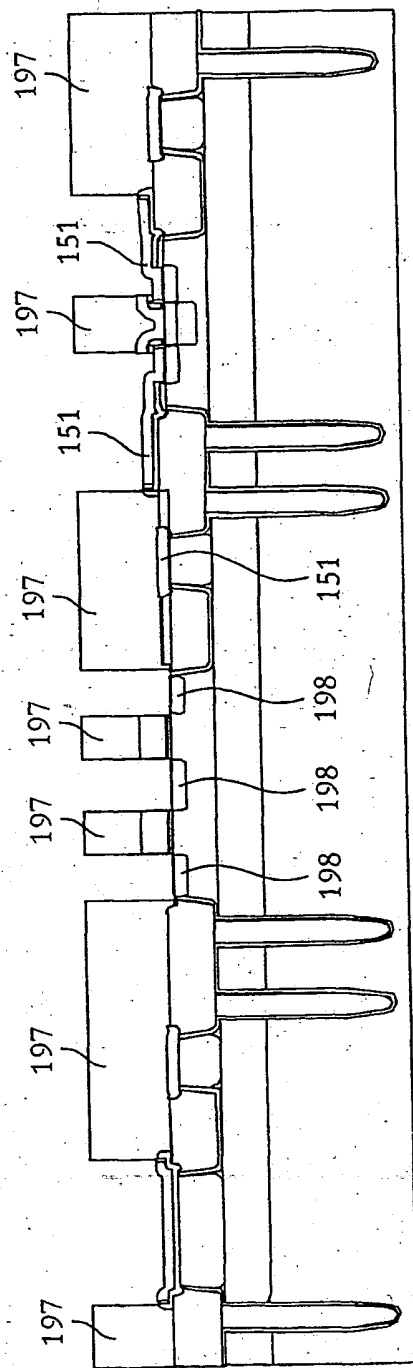


Fig. 19b

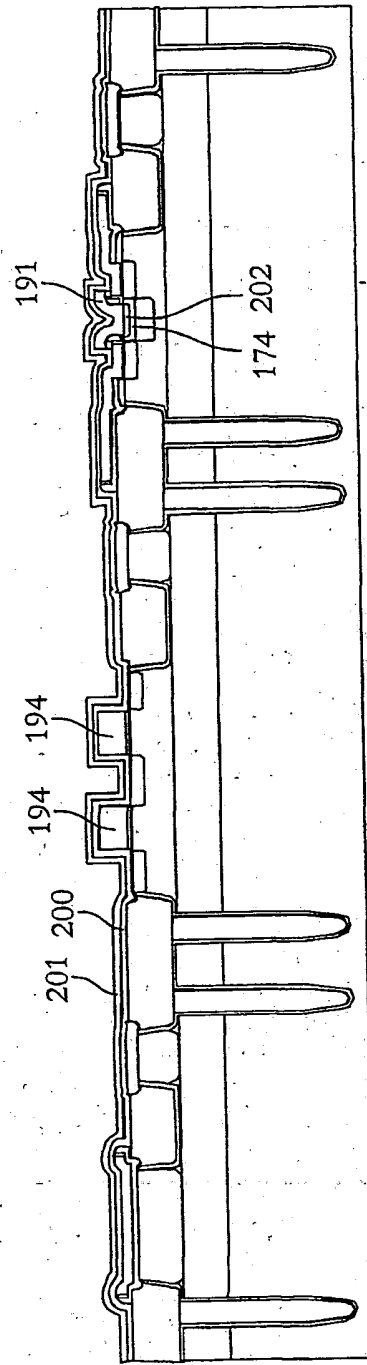


Fig. 20a

14/19

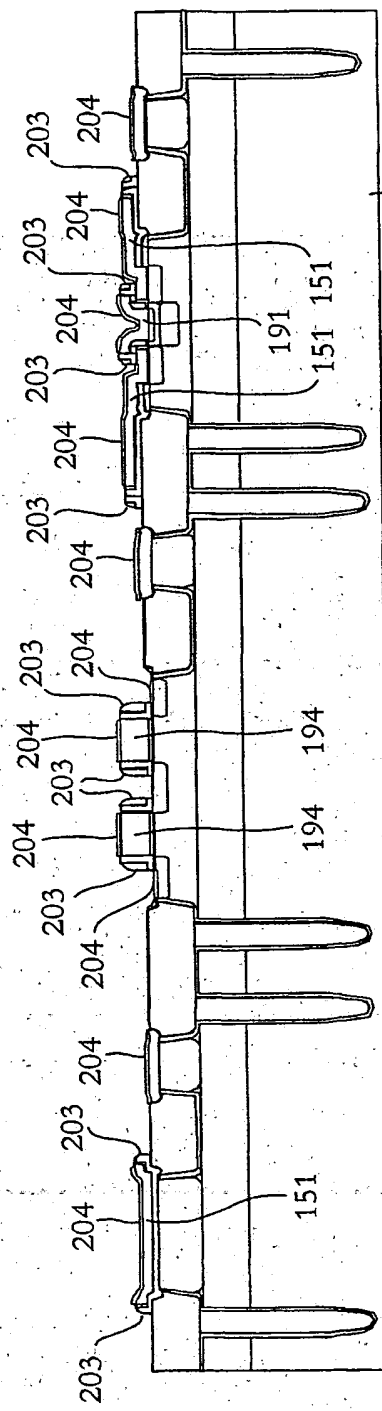


Fig. 20b

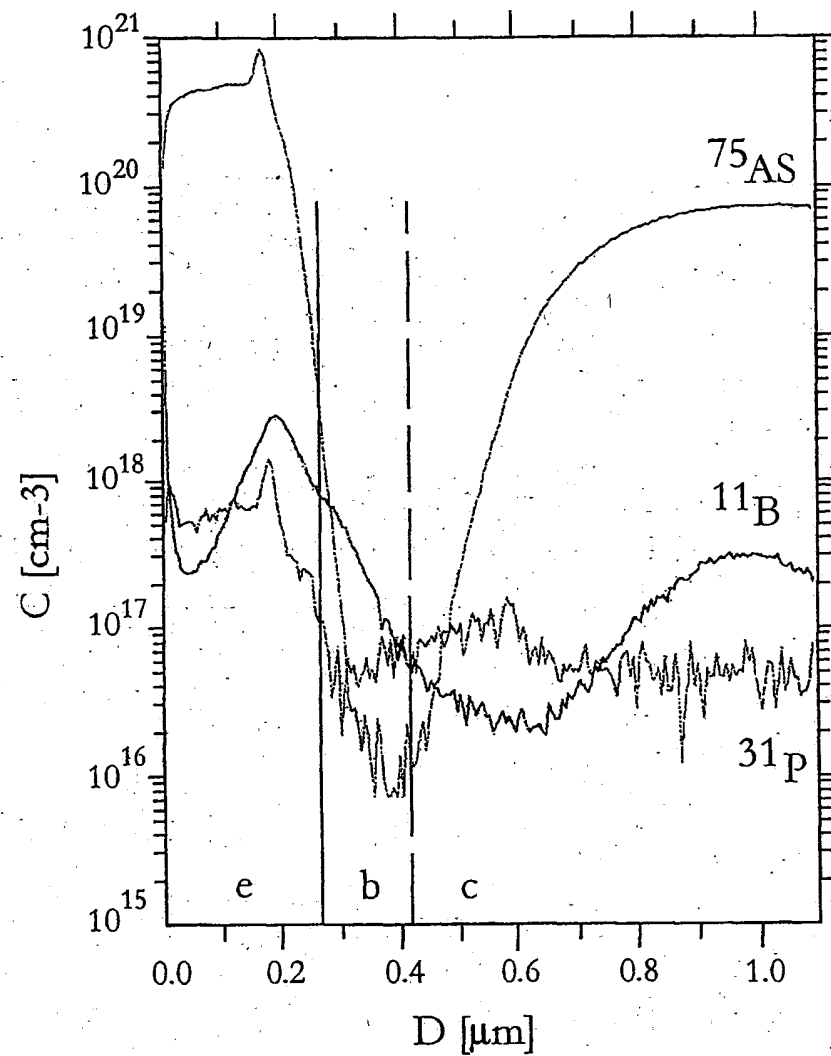


Fig. 20c

16/19

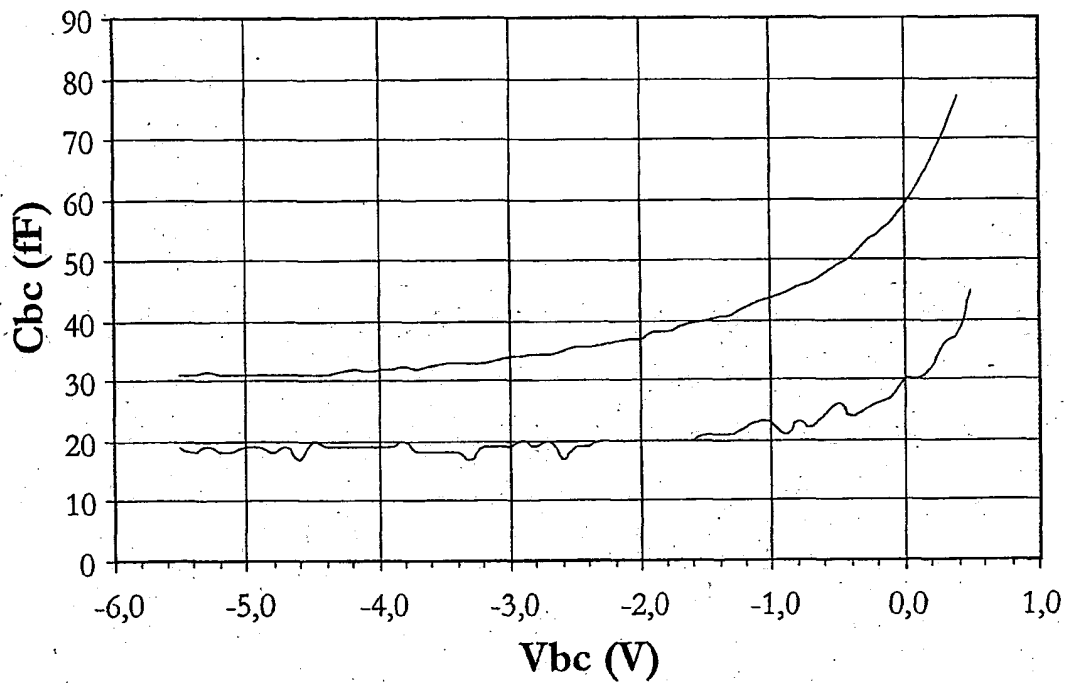


Fig. 20d

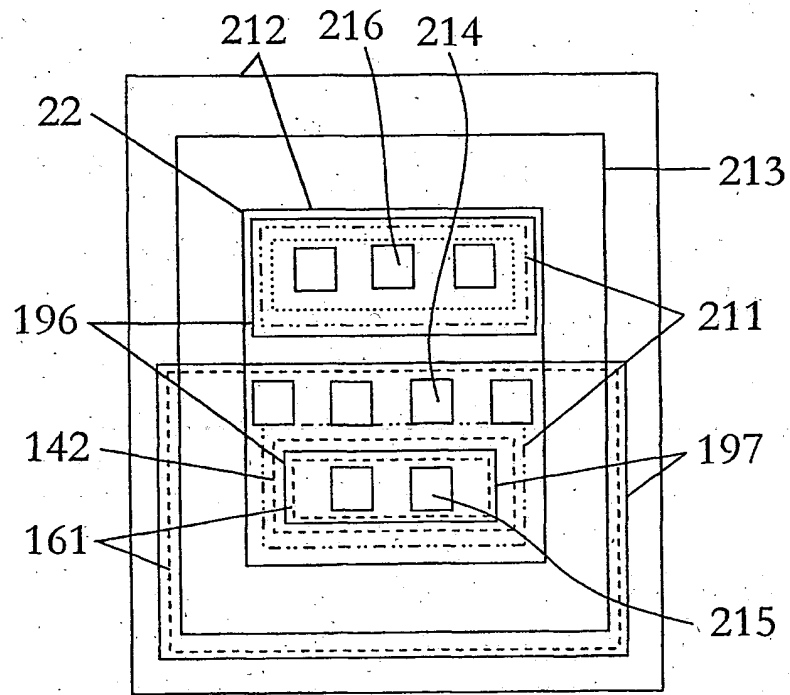


Fig. 21a

17/19

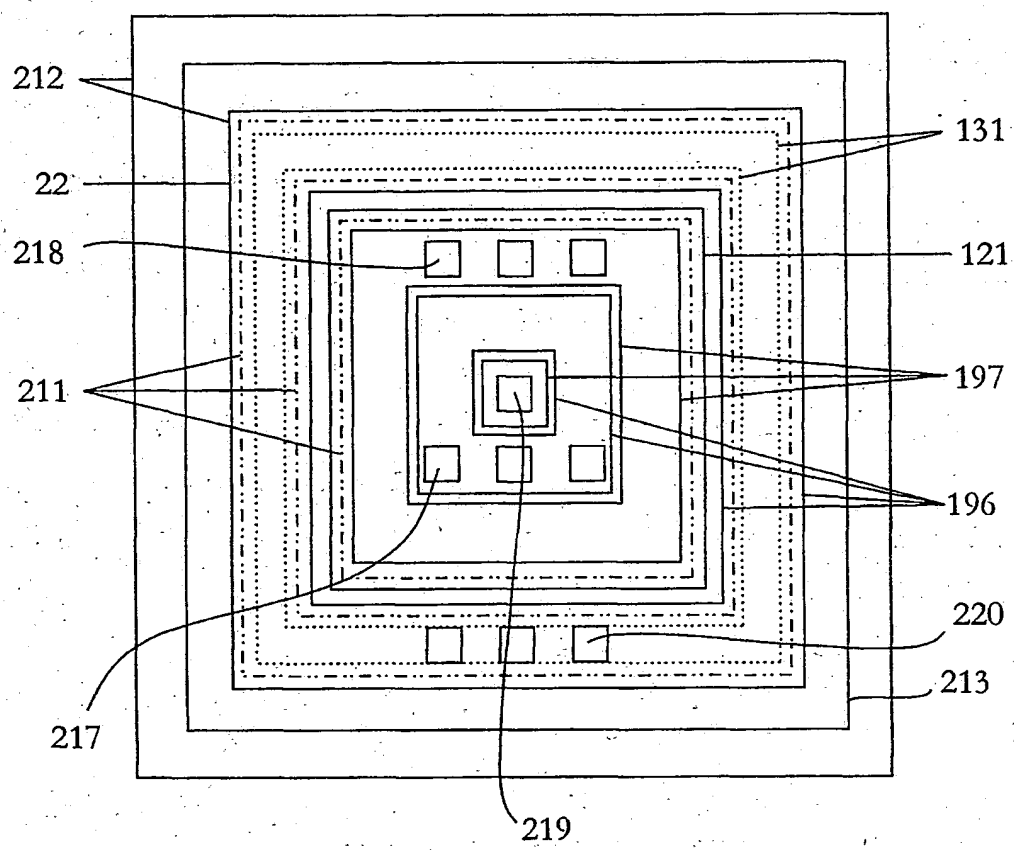


Fig. 21b

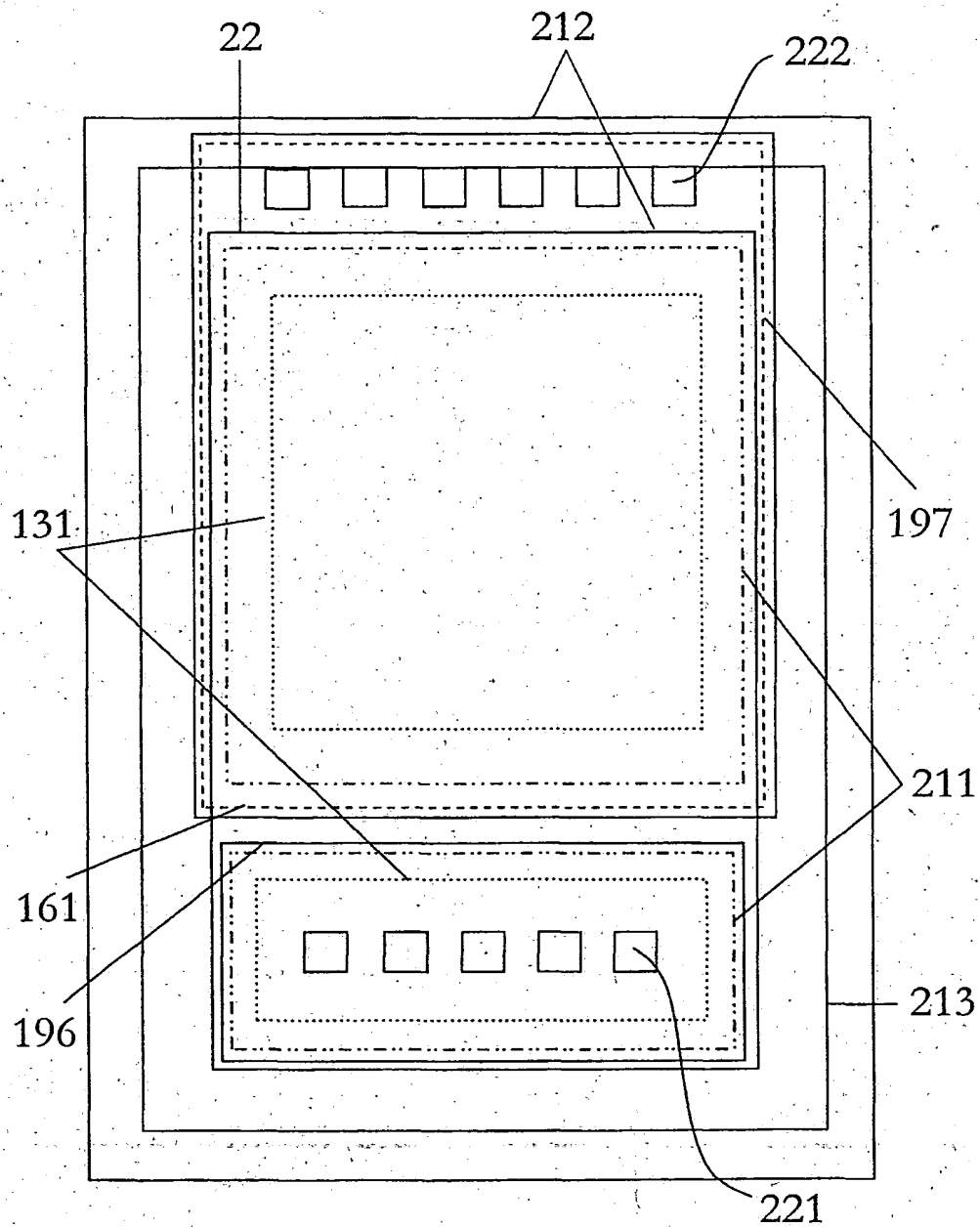


Fig. 21c

19/19

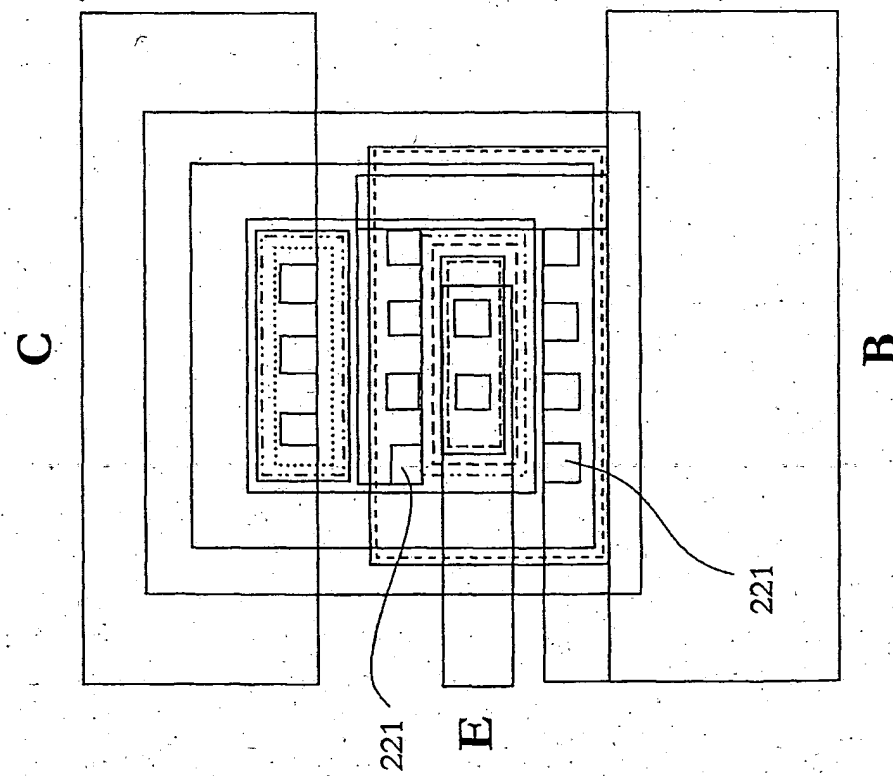
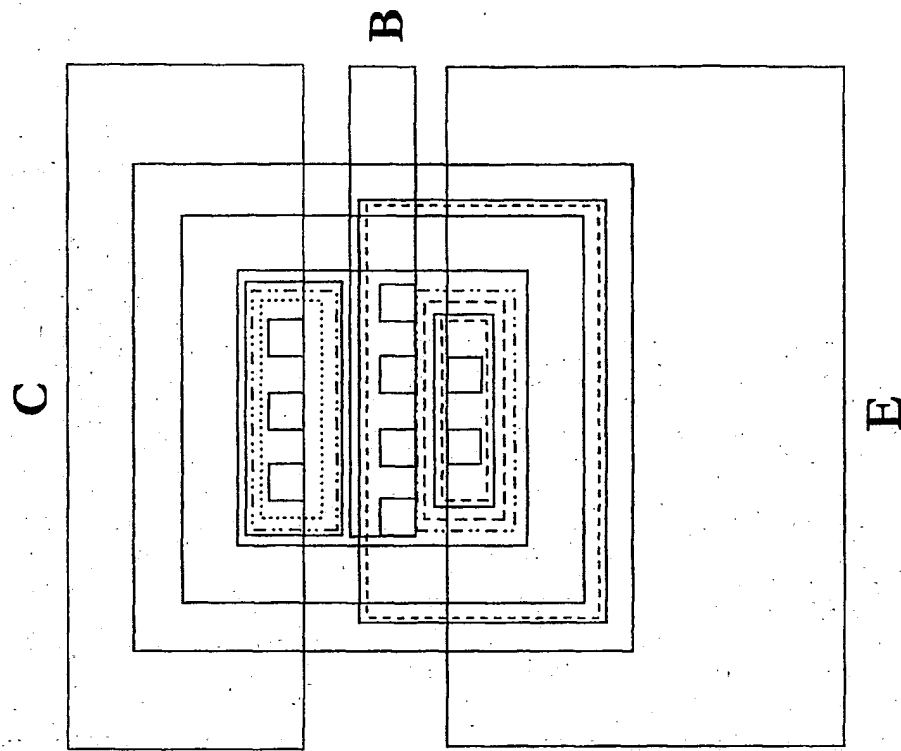


Fig. 22b

Fig. 22a